

京都大学防災研究所 正員 藤田裕一郎 正員 村本亮雄
南海電気鉄道K.K. 正員 宮坂祐文

1. はしがき： 我国のほとんどの河川では河道の安定のために護岸等の構造物が施されており、河岸侵食が自然のままに観察されるることは少く、広い高水敷を持つ河道あるいはショートカット直後の河道に限られている。このため我が国における河岸侵食の研究は、非粘着性材料を用いた実験水路で生じる現象の水理学的解明に力点があがれてきた。しかし、山地河川での土砂生産やある特定の地点における河岸侵食を予測するためには、河川で生じている側岸侵食現象の実態把握に努力する必要があろう。本文はそのような観点から淀川水系宇治川の低水路と天塙川の河岸侵食資料の簡単な検討と宇治川で行っている観測について述べたものである。

2. 天塙川における河岸侵食： 天塙川下流部では河道の直線化に伴う急激な河床低下と河岸侵食の活発化が指摘されている。それを昭和37年10月と43年7月の平面図¹⁾を比較して示すと図-1のようであって、意図的に狭くかつ深くされたショートカットの区間で拡幅が著しく22.5km地点のように100mも広がったところがある反面、21.5km地点のようにほとんど変化しない断面もあって場所的な変化が大きい。この6年間の出水は、融雪、台風、梅雨によるものがそれぞれ7回、8回、3回の計18回であって、その最大流量は2000m³/sであった。河床波の実測値から相当難度を0.3mとして河道形状に基いて満杯流量を求めればこの区間の平均値は約2000m³/sとなり、出水量と同程度であって、そのときの平均流速では $v = 17 \sim 19 \text{ m/s}$ （摩擦速度 $u_f = 13 \sim 14 \text{ cm/s}$ ）と推定され、場所的な変化は小さく拡幅量とは対応しない。なお、この区間の河岸はかなり立っており、その高さはショートカット区間に約12m、その他で約10mではほぼ一定しており、拡幅量は河岸侵食量と良く対応するようである。このように水理量に拘らず拡幅量が場所的に大きく変化するのは次項の宇治川も同じであって、河岸侵食現象の特徴と思われる。この原因としては、河道の平面形状や河床形状に基づく水理学的な側面と粘着性・植生などの河岸の特性があげられるが、いずれも個別に明らかにしていく必要があろう。

3. 宇治川低水路における河岸侵食： 宇治川43km地点

の低水路は図-2のように緩弯曲しており、内岸の左岸は堤防に近いために護岸が施されているが、左岸は約400mの高水敷によって保護されているために、同図に示したように昭和37年から43年にかけて緩慢な侵食が進んでいる。この付近の4横断面²⁾について低水路天端から1~2m下のO.P. 11mの低水路幅B₁₁の経年変化を二の地点から4.10km下流の淀地点の年最大流量とともに示したもののが図-3である。昭和51年を除いて年最大流量はほとんど無関係に43km地点のみが徐々に拡大しており、天塙川と同様拡幅は極めて局所的に進行している。この43kmでは、図-4の横断図に示されているように、昭和46年から51年にかけて急速に進んだ左岸付近の河床の顕著な沈降低下に呼応して拡幅が進んでいるようである。これは、

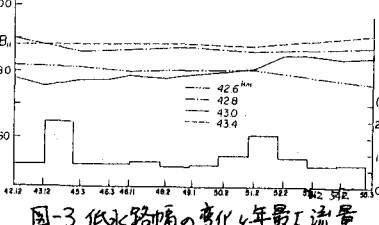


図-3 低水路幅の変化と年最大流量

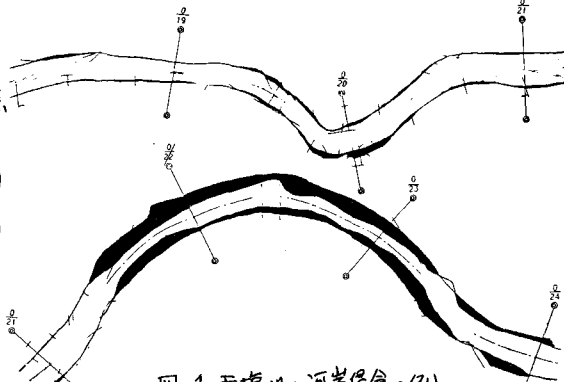


図-1 天塙川の河岸侵食の例



図-2 宇治川の河岸侵食と観測位置

側岸を保護して砂州を発達させた後、その保護工をとり除いて通水した実験について、側岸近傍の発達した深掘れに沿って著しい側岸の崩落が生じて拡幅が進行したことと類似の現象と思われる。一方、拡幅速度と水理量との関係についてもつきのような検討を行った。すなわち、右岸距離標の杭から O.P. 11m と O.P. 9m における河岸位置までの距離の平均値の各年の変化を年最大流量と年最大日流量 (Q_{max}) に対して示せば図-5 のようであって、測量や読み取り誤差のために約 1m の重の拡幅量が生じているが年最大流量あるいは年最大日流量が $550 m^3/s$ で拡幅はほとんど起こらなくななると判断される。このときの 43km 地点の水位と水面こう配を、先述の淀量水標とこの地点から 1.93km 上流の向島量水標の H-Q 曲線を用いて内挿して求め、河床横断形状から平均掃流力を算出すると $\tau = 9.8 N/m^2$ ($C_f = 9.9 cm/s$) であって、約 1.2 cm の礁の限界掃流力に相当する。しかし、つきに述べるように、河岸材料は多くのシルト・粘土分を含むのでこの限界掃流力はかなりの粘着力を反映したものに至っていると思われる。これに対し、昭和 51 年の最大流量約 $1500 m^3/s$ に対して同様の検討を試めれば、水位は約 O.P. 16.5 m と低水路天端を 4 m 程度越えるので掃流力の推定は困難であるが、この 4 m をそのまま径深に加えると $\tau \approx 19 N/m^2$ となつて、天塀川で顕著な河岸侵食を引起した時の値にはほぼ一致する。したがつて、大まかにいって、粘着力を有する河岸でも $20 N/m^2$ 程度になると河岸の侵食は激化し、逆にその $1/2$ の $10 N/m^2$ ではほとんど侵食がみられなくなる場合は多いものと思われる。

4. 宇治川にみける河岸侵食の観測： 図-1 に示して観測場所について、昭和 55 年 6 月に図-5 のように 8 本の杭を 10 m 間隔で河岸に平行に設置し、侵食速度の観測を開始した。約 9 ヶ月毎の観測における河岸の後退状況は同図のとおりであつて、侵食の速く進むところでは 9 ヶ月間に 2~3 m も後退している。この河岸侵食の進行状況は平面形状を滑らかにするような形で流下方向に引続いて起こるようであつて、大きな河岸崩壊はある程度河岸の平面形状が滑れた後に生じるようと思われる。つきに、河岸の水面上の部分で採取した土砂の中央粒径を採取位置の高さについて示せば図-7 となり、その粒度構成を示せば図-8 のようである。河岸材料は明らかに上方ほど粗く、水際附近ほどシルトや粘土分を多く含んでおり、これらの細粒成分によって急な河岸勾配が維持されていることがわかる。しかし、このようないずれ粒度変化の理由は現在のところ不明である。

5. あとがき： 本文では、河川の側岸侵食に対して実験に基いたこれまでの研究成果を適用していく第一歩として、入手した資料の簡単な検討と着手してばかりの観測から得られた河岸侵食の特徴について述べた。しかし、現象の力学的・水理学的側面にはほとんど触れることができなかつたので、今後得られた結果と実験的・理論的研究の成果との間の溝を埋めていくよう、研究を進めて行くつもりである。最後に、観測やまとめに協力してくれた市川和邦君、古川隆司君に謝意を表します。
 ((参考文献)) 1) 地図 伊勢屋；北方科学調査報告 1, 岩波社, 1980.
 2) 北海道開発局；地盤特性調査資料, 1980., 3) 村本・藤田・宮坂・市川：昭和 57 年度関西支部年譲.

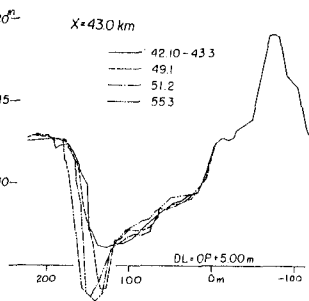


図-4 横断形状の経年変化

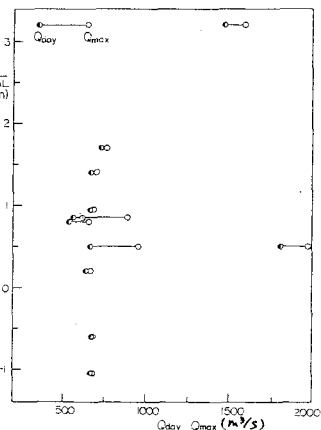


図-5 流量と拡幅量との関

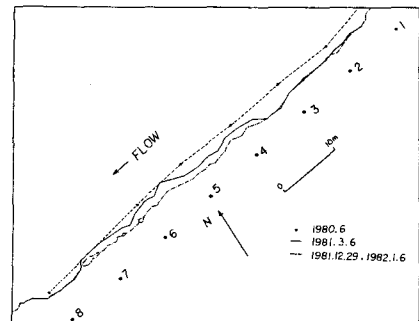


図-6 観測の基準線と河岸の変化

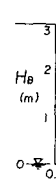


図-7 河岸の中央粒径

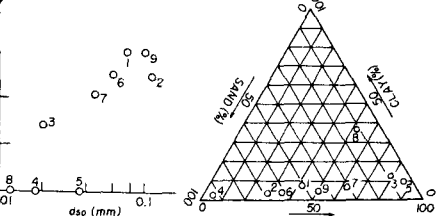


図-8 河岸材料の粒度構成